

# Starkniederschlagshöhen und -spenden gemäß KOSTRA-DWD-2020

## Rasterfeld 123142

(Zeile 123, Spalte 142)

### Regenspende und Bemessungsniederschlagswerte in Abhängigkeit von Wiederkehrzeit T und Dauerstufe D

| Dauerstufe D |     | Wiederkehrzeit T |            |      |            |      |            |      |            |       |            |       |            |       |            |       |            |       |            |
|--------------|-----|------------------|------------|------|------------|------|------------|------|------------|-------|------------|-------|------------|-------|------------|-------|------------|-------|------------|
|              |     | 1 a              |            | 2 a  |            | 3 a  |            | 5 a  |            | 10 a  |            | 20 a  |            | 30 a  |            | 50 a  |            | 100 a |            |
| min          | Std | mm               | l / (s ha) | mm   | l / (s ha) | mm   | l / (s ha) | mm   | l / (s ha) | mm    | l / (s ha) | mm    | l / (s ha) | mm    | l / (s ha) | mm    | l / (s ha) | mm    | l / (s ha) |
| 5            |     | 7,0              | 233,3      | 8,7  | 290,0      | 9,8  | 326,7      | 11,2 | 373,3      | 13,2  | 440,0      | 15,3  | 510,0      | 16,7  | 556,7      | 18,5  | 616,7      | 21,0  | 700,0      |
| 10           |     | 9,2              | 153,3      | 11,4 | 190,0      | 12,8 | 213,3      | 14,7 | 245,0      | 17,3  | 288,3      | 20,0  | 333,3      | 21,8  | 363,3      | 24,2  | 403,3      | 27,5  | 458,3      |
| 15           |     | 10,5             | 116,7      | 13,1 | 145,6      | 14,7 | 163,3      | 16,8 | 186,7      | 19,8  | 220,0      | 22,9  | 254,4      | 25,0  | 277,8      | 27,7  | 307,8      | 31,5  | 350,0      |
| 20           |     | 11,5             | 95,8       | 14,3 | 119,2      | 16,1 | 134,2      | 18,4 | 153,3      | 21,7  | 180,8      | 25,1  | 209,2      | 27,3  | 227,5      | 30,3  | 252,5      | 34,5  | 287,5      |
| 30           |     | 12,9             | 71,7       | 16,1 | 89,4       | 18,1 | 100,6      | 20,7 | 115,0      | 24,4  | 135,6      | 28,3  | 157,2      | 30,8  | 171,1      | 34,1  | 189,4      | 38,8  | 215,6      |
| 45           |     | 14,5             | 53,7       | 18,1 | 67,0       | 20,3 | 75,2       | 23,2 | 85,9       | 27,3  | 101,1      | 31,7  | 117,4      | 34,5  | 127,8      | 38,2  | 141,5      | 43,5  | 161,1      |
| 60           | 1   | 15,7             | 43,6       | 19,5 | 54,2       | 21,9 | 60,8       | 25,0 | 69,4       | 29,6  | 82,2       | 34,2  | 95,0       | 37,3  | 103,6      | 41,3  | 114,7      | 47,0  | 130,6      |
| 90           | 1,5 | 17,4             | 32,2       | 21,7 | 40,2       | 24,4 | 45,2       | 27,9 | 51,7       | 32,9  | 60,9       | 38,1  | 70,6       | 41,5  | 76,9       | 45,9  | 85,0       | 52,3  | 96,9       |
| 120          | 2   | 18,8             | 26,1       | 23,4 | 32,5       | 26,3 | 36,5       | 30,0 | 41,7       | 35,5  | 49,3       | 41,1  | 57,1       | 44,7  | 62,1       | 49,5  | 68,8       | 56,4  | 78,3       |
| 180          | 3   | 20,9             | 19,4       | 26,0 | 24,1       | 29,2 | 27,0       | 33,3 | 30,8       | 39,4  | 36,5       | 45,6  | 42,2       | 49,6  | 45,9       | 54,9  | 50,8       | 62,6  | 58,0       |
| 240          | 4   | 22,4             | 15,6       | 28,0 | 19,4       | 31,4 | 21,8       | 35,9 | 24,9       | 42,3  | 29,4       | 49,0  | 34,0       | 53,4  | 37,1       | 59,1  | 41,0       | 67,3  | 46,7       |
| 360          | 6   | 24,9             | 11,5       | 31,0 | 14,4       | 34,8 | 16,1       | 39,8 | 18,4       | 46,9  | 21,7       | 54,3  | 25,1       | 59,2  | 27,4       | 65,5  | 30,3       | 74,6  | 34,5       |
| 540          | 9   | 27,5             | 8,5        | 34,3 | 10,6       | 38,5 | 11,9       | 44,0 | 13,6       | 52,0  | 16,0       | 60,1  | 18,5       | 65,5  | 20,2       | 72,5  | 22,4       | 82,6  | 25,5       |
| 720          | 12  | 29,6             | 6,9        | 36,9 | 8,5        | 41,4 | 9,6        | 47,3 | 10,9       | 55,8  | 12,9       | 64,6  | 15,0       | 70,4  | 16,3       | 78,0  | 18,1       | 88,8  | 20,6       |
| 1080         | 18  | 32,8             | 5,1        | 40,8 | 6,3        | 45,8 | 7,1        | 52,4 | 8,1        | 61,8  | 9,5        | 71,5  | 11,0       | 77,9  | 12,0       | 86,3  | 13,3       | 98,2  | 15,2       |
| 1440         | 24  | 35,2             | 4,1        | 43,9 | 5,1        | 49,2 | 5,7        | 56,3 | 6,5        | 66,4  | 7,7        | 76,9  | 8,9        | 83,7  | 9,7        | 92,7  | 10,7       | 105,6 | 12,2       |
| 2880         | 48  | 41,8             | 2,4        | 52,1 | 3,0        | 58,5 | 3,4        | 66,9 | 3,9        | 78,9  | 4,6        | 91,4  | 5,3        | 99,5  | 5,8        | 110,2 | 6,4        | 125,5 | 7,3        |
| 4320         | 72  | 46,3             | 1,8        | 57,7 | 2,2        | 64,7 | 2,5        | 74,0 | 2,9        | 87,3  | 3,4        | 101,1 | 3,9        | 110,1 | 4,2        | 121,9 | 4,7        | 138,8 | 5,4        |
| 5760         | 96  | 49,7             | 1,4        | 61,9 | 1,8        | 69,5 | 2,0        | 79,5 | 2,3        | 93,8  | 2,7        | 108,6 | 3,1        | 118,3 | 3,4        | 131,0 | 3,8        | 149,1 | 4,3        |
| 7200         | 120 | 52,6             | 1,2        | 65,5 | 1,5        | 73,5 | 1,7        | 84,0 | 1,9        | 99,2  | 2,3        | 114,8 | 2,7        | 125,0 | 2,9        | 138,4 | 3,2        | 157,6 | 3,6        |
| 8640         | 144 | 55,0             | 1,1        | 68,5 | 1,3        | 76,9 | 1,5        | 87,9 | 1,7        | 103,8 | 2,0        | 120,1 | 2,3        | 130,8 | 2,5        | 144,9 | 2,8        | 165,0 | 3,2        |
| 10080        | 168 | 57,1             | 0,9        | 71,2 | 1,2        | 79,9 | 1,3        | 91,4 | 1,5        | 107,8 | 1,8        | 124,8 | 2,1        | 136,0 | 2,2        | 150,5 | 2,5        | 171,4 | 2,8        |

# Starkniederschlagshöhen und -spenden gemäß KOSTRA-DWD-2020

## Rasterfeld 123142

(Zeile 123, Spalte 142)

### Örtliche Unsicherheiten in Abhängigkeit von Wiederkehrzeit T und Dauerstufe D

| Dauerstufe D |     | Wiederkehrzeit T |     |     |     |      |      |      |      |       |
|--------------|-----|------------------|-----|-----|-----|------|------|------|------|-------|
|              |     | 1 a              | 2 a | 3 a | 5 a | 10 a | 20 a | 30 a | 50 a | 100 a |
| min          | Std | ± %              | ± % | ± % | ± % | ± %  | ± %  | ± %  | ± %  | ± %   |
| 5            |     | 14               | 15  | 15  | 16  | 17   | 18   | 18   | 19   | 19    |
| 10           |     | 16               | 18  | 19  | 20  | 21   | 22   | 23   | 23   | 24    |
| 15           |     | 18               | 20  | 21  | 22  | 23   | 24   | 25   | 25   | 26    |
| 20           |     | 19               | 21  | 22  | 23  | 25   | 25   | 26   | 26   | 27    |
| 30           |     | 20               | 22  | 23  | 24  | 25   | 26   | 27   | 27   | 28    |
| 45           |     | 20               | 22  | 23  | 24  | 26   | 26   | 27   | 28   | 28    |
| 60           | 1   | 19               | 22  | 23  | 24  | 25   | 26   | 27   | 27   | 28    |
| 90           | 1,5 | 19               | 21  | 22  | 23  | 25   | 26   | 26   | 27   | 27    |
| 120          | 2   | 18               | 20  | 21  | 23  | 24   | 25   | 25   | 26   | 26    |
| 180          | 3   | 17               | 19  | 20  | 21  | 23   | 24   | 24   | 25   | 25    |
| 240          | 4   | 16               | 18  | 20  | 21  | 22   | 23   | 23   | 24   | 24    |
| 360          | 6   | 15               | 17  | 18  | 19  | 21   | 22   | 22   | 23   | 23    |
| 540          | 9   | 15               | 17  | 18  | 18  | 20   | 20   | 21   | 21   | 22    |
| 720          | 12  | 14               | 16  | 17  | 18  | 19   | 20   | 20   | 21   | 21    |
| 1080         | 18  | 14               | 16  | 16  | 17  | 18   | 19   | 19   | 20   | 20    |
| 1440         | 24  | 14               | 15  | 16  | 17  | 18   | 18   | 19   | 19   | 20    |
| 2880         | 48  | 16               | 16  | 16  | 17  | 17   | 18   | 18   | 18   | 19    |
| 4320         | 72  | 17               | 17  | 17  | 17  | 18   | 18   | 18   | 18   | 19    |
| 5760         | 96  | 18               | 18  | 18  | 18  | 18   | 18   | 19   | 19   | 19    |
| 7200         | 120 | 19               | 19  | 18  | 18  | 19   | 19   | 19   | 19   | 19    |
| 8640         | 144 | 20               | 19  | 19  | 19  | 19   | 19   | 19   | 19   | 20    |
| 10080        | 168 | 21               | 20  | 20  | 20  | 20   | 20   | 20   | 20   | 20    |

### Parameter für abweichende T und D

#### Lokationsparameter $\xi$ (Xi)

15,98666093

#### Skalenparameter $\alpha$ (Alpha)

5,46729674

#### Formparameter $\kappa$ (Kappa)

-0,1

#### 1. Koutsoyiannis-Parameter $\theta$ (Theta)

0,02614848

#### 2. Koutsoyiannis-Parameter $\eta$ (Eta)

0,7512312

Parameter für dauerstufenübergreifende Extremwertschätzung nach KOUTSOYIANNIS et al. 1998.

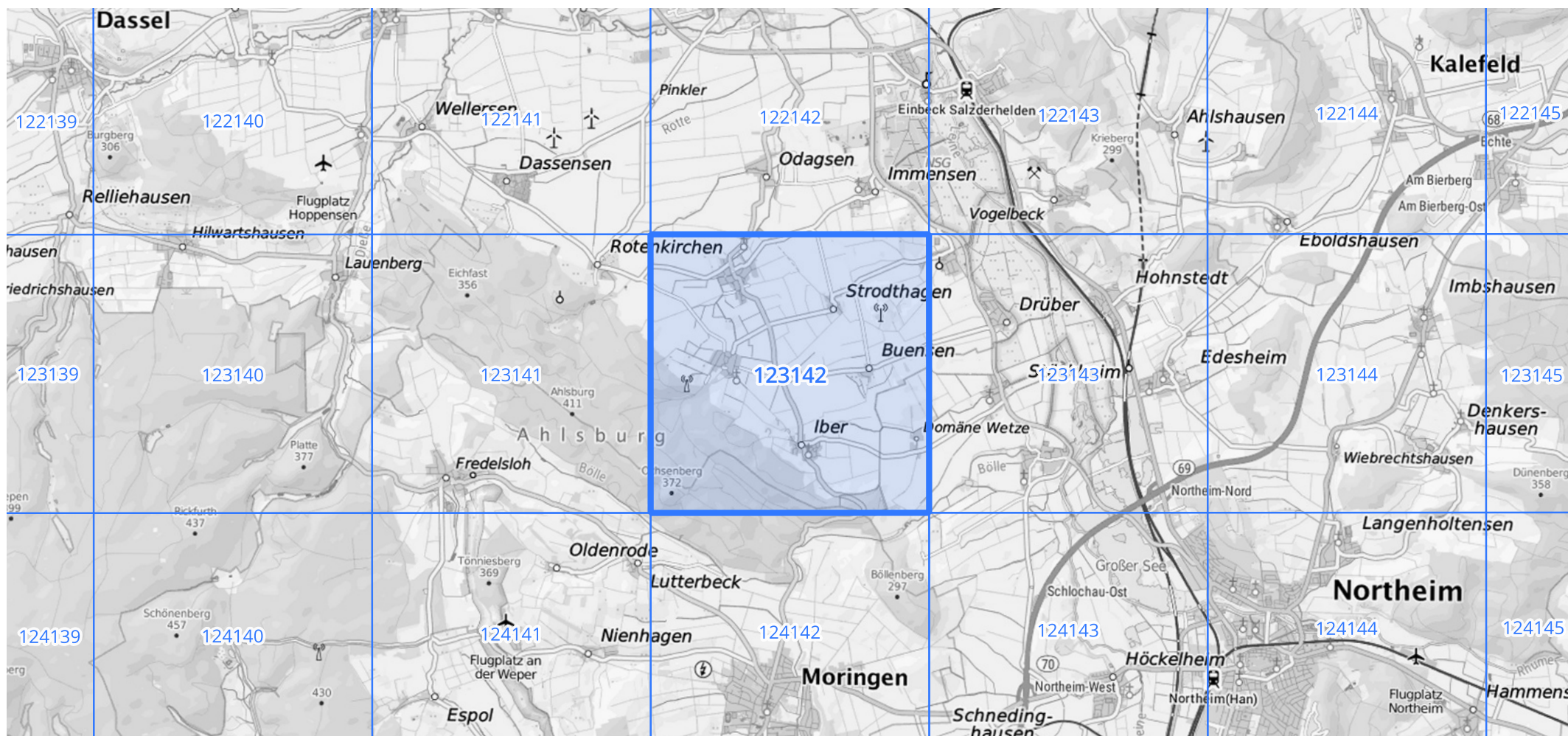
Siehe auch Anwendungshilfe zu KOSTRA-DWD-2020 des Deutschen Wetterdienstes.

# Starkniederschlagshöhen und -spenden gemäß KOSTRA-DWD-2020

## Rasterfeld 123142

(Zeile 123, Spalte 142)

Übersichtskarte des Rasterfeldes 123142, M 1 : 100 000



Quelle Rasterdaten: KOSTRA-DWD-2020 des Deutschen Wetterdienstes, Stand 12/2022.

Seite 3 von 3

Kartendarstellung: © Bundesamt für Kartographie und Geodäsie (2023), Datenquellen: [https://sgx.geodatenzentrum.de/web\\_public/gdz/datenquellen/Datenquellen\\_TopPlusOpen.html](https://sgx.geodatenzentrum.de/web_public/gdz/datenquellen/Datenquellen_TopPlusOpen.html)

Für die Richtigkeit und Aktualität der Angaben wird keine Gewähr übernommen. Erstellt 01/2023.